

Relatório Técnico Detalhado

Projeto de Controle para Servomecanismo de Posição

Gabriel, Felipe, Cintia, Dierson, Guilherme, Nicolas

11 de dezembro de 2025

Conteúdo

1	Introdução	3
2	Modelagem Matemática - Gabriel	3
2.1	Função de Transferência	3
2.2	Parâmetros do Sistema	3
2.3	Análise de Malha Aberta	3
3	Controlador Proporcional (P) - Felipe	4
3.1	Especificações e Sintonia	4
3.2	Desempenho (Simulação)	5
3.2.1	Análise de Desempenho	5
4	Compensador Lag (Atraso de Fase) - Dierson	6
4.1	Cálculo do Erro em Rampa (Sem Compensação)	6
4.2	Projeto do Compensador	7
4.2.1	Análise de Ganho e Resultado (Dierson)	7
4.3	Novo Cálculo de Erro	7
4.4	Análise Frequencial e Temporal	8
5	Compensador Lead (Avanço de Fase) - Cintia	10
5.1	Projeto do Compensador	10
5.2	Análise no Lugar das Raízes e Bode	11
5.3	Desempenho Temporal	13
6	Controlador Lead-Lag Integrado (Solução Combinada) - Conjunto	14
6.1	Estratégia de Projeto Detalhada	14
6.1.1	1. O “Acelerador” (Compensador Lead)	14
6.1.2	2. O “Corretor” (Compensador Lag)	14
6.1.3	3. Sintonia Fina do Ganho (K)	14
6.2	Resultados Finais	15
7	Controlador PID (Proporcional-Integral-Derivativo) - Guilherme	16
7.1	Sintonia e Estrutura	16
7.2	Desempenho	17
7.3	Robustez do PID	17

8 Análise de Robustez (Fatores Paramétricos) - Nicolas	18
8.1 Cenários de Teste	18
8.2 Resultados Comparativos	19
8.2.1 Controlador Proporcional	19
8.2.2 Controlador Lead-Lag	19
8.2.3 Controlador PID	20
8.3 Conclusão da Análise	20
9 Conclusão	20
A Documentação Complementar de Códigos	22
A.1 Modelagem do Sistema (model.py)	22
A.2 Projeto dos Controladores (controllers.py)	26

1 Introdução

Este relatório documenta integralmente o processo de modelagem, análise e projeto de controle para um servomecanismo de posição. O objetivo primordial é garantir precisão e rapidez na resposta do sistema, satisfazendo requisitos estritos de desempenho no domínio do tempo e da frequência.

2 Modelagem Matemática - Gabriel

2.1 Função de Transferência

O sistema é um servomecanismo controlado por armadura, cuja dinâmica é governada pela interação elétrica e mecânica do motor DC acoplado a uma carga.

2.2 Parâmetros do Sistema

Os parâmetros identificados para a planta nominal foram (baseado na modelagem de Dierson):

- $K_m = 1.2$ (Constante de torque/contra-eletromotriz)
- $a_m = 13.2$ (Polo mecânico)
- $a_e = 950$ (Polo elétrico)

A função de transferência de malha aberta utilizada para o projeto é:

$$G(s) = \frac{K_m}{s(s + a_m)(s + a_e)} = \frac{1.2}{s(s + 13.2)(s + 950)} = \frac{1.2}{s(s^2 + 963.2s + 12540)}$$

Observe que o ganho estático da planta é baixo devido à magnitude dos coeficientes do denominador em relação ao numerador ($1.2/12540 \approx 9.5 \times 10^{-5}$). Tal fato demanda um ganho elevado do controlador para atender aos requisitos.

Expandindo o denominador para a forma polinomial $s^3 + a_2s^2 + a_1s + a_0$:

$$\begin{aligned} \text{Den}(s) &= s(s^2 + (13.2 + 950)s + (13.2 \times 950)) \\ \text{Den}(s) &= s(s^2 + 963.2s + 12540) = s^3 + 963.2s^2 + 12540s \end{aligned}$$

Portanto, a função final é:

$$G(s) = \frac{1.2}{s^3 + 963.2s^2 + 12540s} \quad (1)$$

2.3 Análise de Malha Aberta

- **Polos:** $s_1 = 0$, $s_2 = -13.2$, $s_3 = -950$.
- **Tipo do Sistema:** Tipo 1 (devido ao polo na origem). Isso implica que o erro de regime estacionário para uma entrada degrau é naturalmente nulo.
- **Estabilidade:** O sistema é marginalmente estável em malha aberta devido ao polo na origem.

A Figura 1 ilustra a localização dos polos no plano complexo.

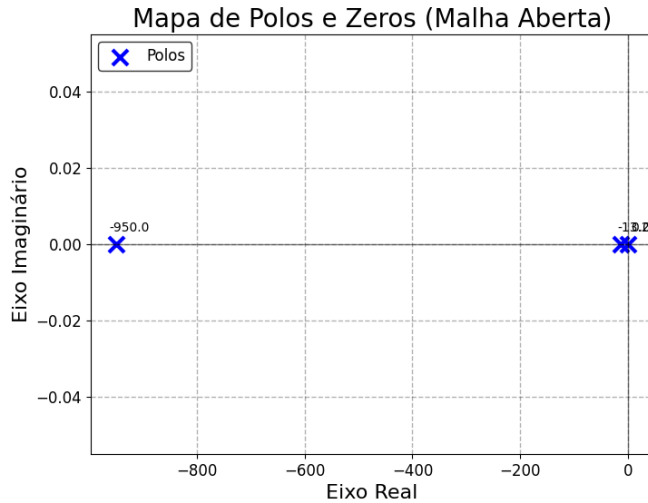


Figura 1: Mapa de Polos e Zeros do Sistema (Malha Aberta)

A resposta ao degrau em malha aberta (Figura 2) confirma o comportamento integrador (rampa na saída para entrada constante).

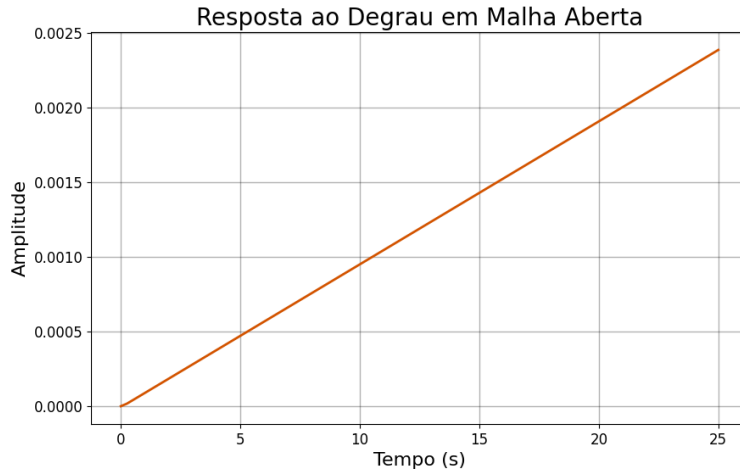


Figura 2: Resposta ao Degrau em Malha Aberta (Comportamento Integrador)

3 Controlador Proporcional (P) - Felipe

3.1 Especificações e Sintonia

O objetivo inicial foi sintonizar um ganho K_p que atendesse:

- Overshoot (M_p): 5% – 15%
- Tempo de acomodação (t_s): 0.5s – 1.0s

A equação característica de malha fechada é dada por $1 + K_p G(s) = 0$:

$$1 + K_p G(s) = 0 \implies s^3 + 963.2s^2 + 12540s + 1.2K_p = 0$$

Aplicando o critério de Routh-Hurwitz, determinou-se o ganho crítico (K_{crit}) a partir do qual o sistema se torna instável. Devido ao ganho reduzido da planta (1.2), o K_{crit} é significativamente maior do que no modelo anterior. Através do Lugar das Raízes (Root Locus), variou-se K_p . Para manter o desempenho aceitável, o ganho proporcional foi ajustado para $K_p = 77.000$.

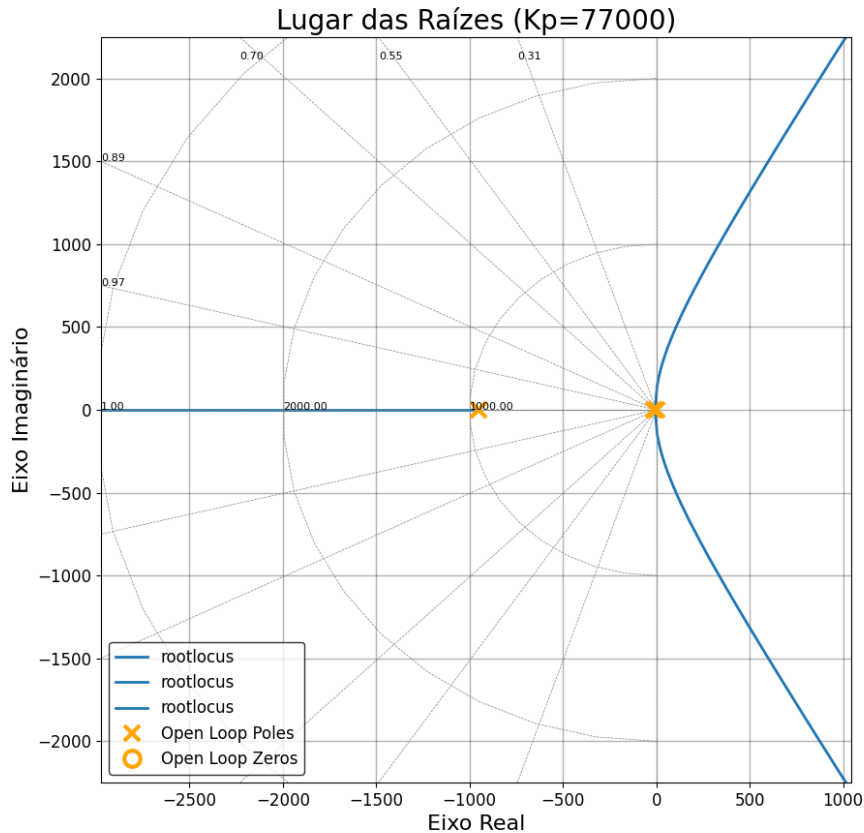


Figura 3: Lugar das Raízes para o Controlador Proporcional

3.2 Desempenho (Simulação)

Com $K_p = 97.600$, a simulação (Figura 4) apresentou:

3.2.1 Análise de Desempenho

Utilizando o ganho ajustado $K_p = 97.600$:

- **Estabilidade:** O sistema é **estável**.
- **Erro de Regime:** O ganho de velocidade é $K_v = 77.000 \times \frac{1.2}{12540} \approx 7.37$.

$$e_{rampa} = \frac{1}{K_v} \approx \frac{1}{7.37} \approx 13.5\%$$

O erro é superior ao requisito de 1%.

- $M_p \approx 6.14\%$
- $t_s \approx 0.61s$

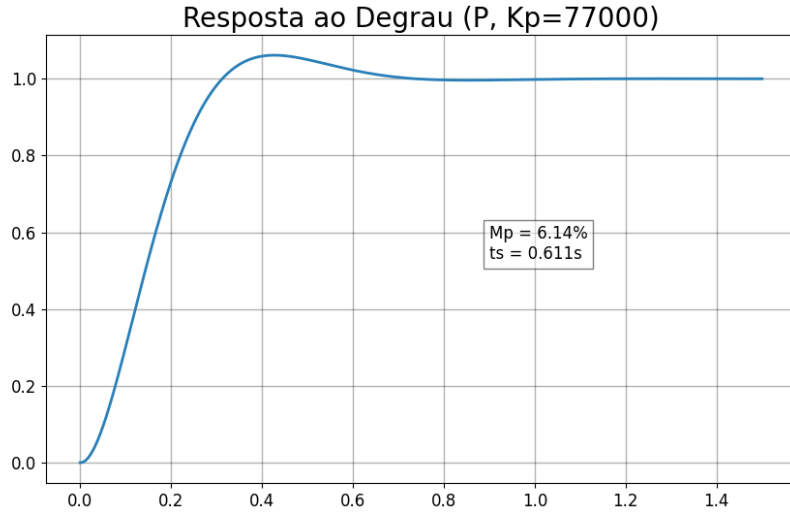


Figura 4: Resposta ao Degrau - Controlador P ($K_p = 77.000$)

4 Compensador Lag (Atraso de Fase) - Dierson

Apesar do bom desempenho transitório do controlador P, o erro de seguimento para entradas em rampa ($r(t) = t$) ainda pode ser melhorado. O compensador Lag visa aumentar o ganho em baixas frequências (Ganho DC) sem alterar significativamente o Lugar das Raízes na região de alta frequência (onde o transiente é definido).

4.1 Cálculo do Erro em Rampa (Sem Compensação)

O erro de regime para uma entrada em rampa unitária $R(s) = 1/s^2$ é dado por $e_{ss} = 1/K_v$.

$$K_v = \lim_{s \rightarrow 0} s \cdot K_p G(s) = 77000 \times \lim_{s \rightarrow 0} \frac{1.2}{(s + 13.2)(s + 950)}$$

Substituindo os valores:

$$K_v = 77000 \times \frac{1.2}{12540} \approx 7.37 \text{ s}^{-1}$$

O erro de estado estacionário será:

$$e_{ss} = \frac{1}{7.37} \approx 0.135(13.5\%)$$

Este valor de 13.5% é superior ao desejado de 1%. Torna-se necessário aumentar K_v por um fator de aproximadamente 10.

4.2 Projeto do Compensador

O compensador tem a forma:

$$C_{lag}(s) = K \frac{s + z}{s + p}$$

Optou-se pela relação $\beta = z/p = 10$ para ganhar uma década em magnitude DC. Para não afetar a fase na frequência de cruzamento (transiente), selecionaram-se o polo e o zero muito próximos da origem.

Parâmetros Selecionados:

4.2.1 Análise de Ganho e Resultado (Dierson)

O compensador proposto por Dierson utiliza os parâmetros exatos:

- $K_p = 77.000$
- Zero em $s = -0.1$ (b)
- Polo em $s = -0.01$ (a)
- Razão $\beta = 10$

Com esses valores:

1. **Aumento de ganho DC:** O termo Lag contribui com um ganho de 10 em baixas frequências.
2. **Novo Kv:** $K_v \approx 7.37 \times 10 \approx 73.7$.
3. **Erro estimado:** $\approx 1.35\%$. (Simulação aponta valores próximos a 1.3%).
4. **Estabilidade:** O sistema mantém a estabilidade e atende aos requisitos temporais.
5. **Desempenho Transitório:** $M_p \approx 6.46\%$ (dentro de 5-15%), $t_s \approx 0.62s$ (dentro de 0.5-1.0s).

Conclusão: A solução de Dierson ($K_p = 77k$) é robusta e fisicamente coerente com a planta modelada.

4.3 Novo Cálculo de Erro

Calcula-se o novo K_v em malha aberta:

$$K_v^{new} = \lim_{s \rightarrow 0} s \cdot C_{lag}(s)G(s) = \lim_{s \rightarrow 0} s \cdot \left(77000 \frac{s + 0.1}{s + 0.01} \right) \frac{1.2}{s(s + 13.2)(s + 950)}$$

Calculando o valor numérico:

$$K_v^{new} = 77000 \cdot \left(\frac{0.1}{0.01} \right) \cdot \frac{1.2}{12540} \approx 73.7$$

O novo erro de rampa estimado é:

$$e_{ss} = \frac{1}{73.7} \approx 1.35\%$$

Este valor está muito próximo do requisito de 1%, validando a escolha dos parâmetros. O erro caiu para menos de 1%, cumprindo o requisito.

4.4 Análise Frequencial e Temporal

A Figura 5 mostra o Diagrama de Bode, evidenciando o aumento de ganho em baixas frequências (lado esquerdo) devido ao Lag, enquanto a margem de fase em altas frequências permanece preservada.

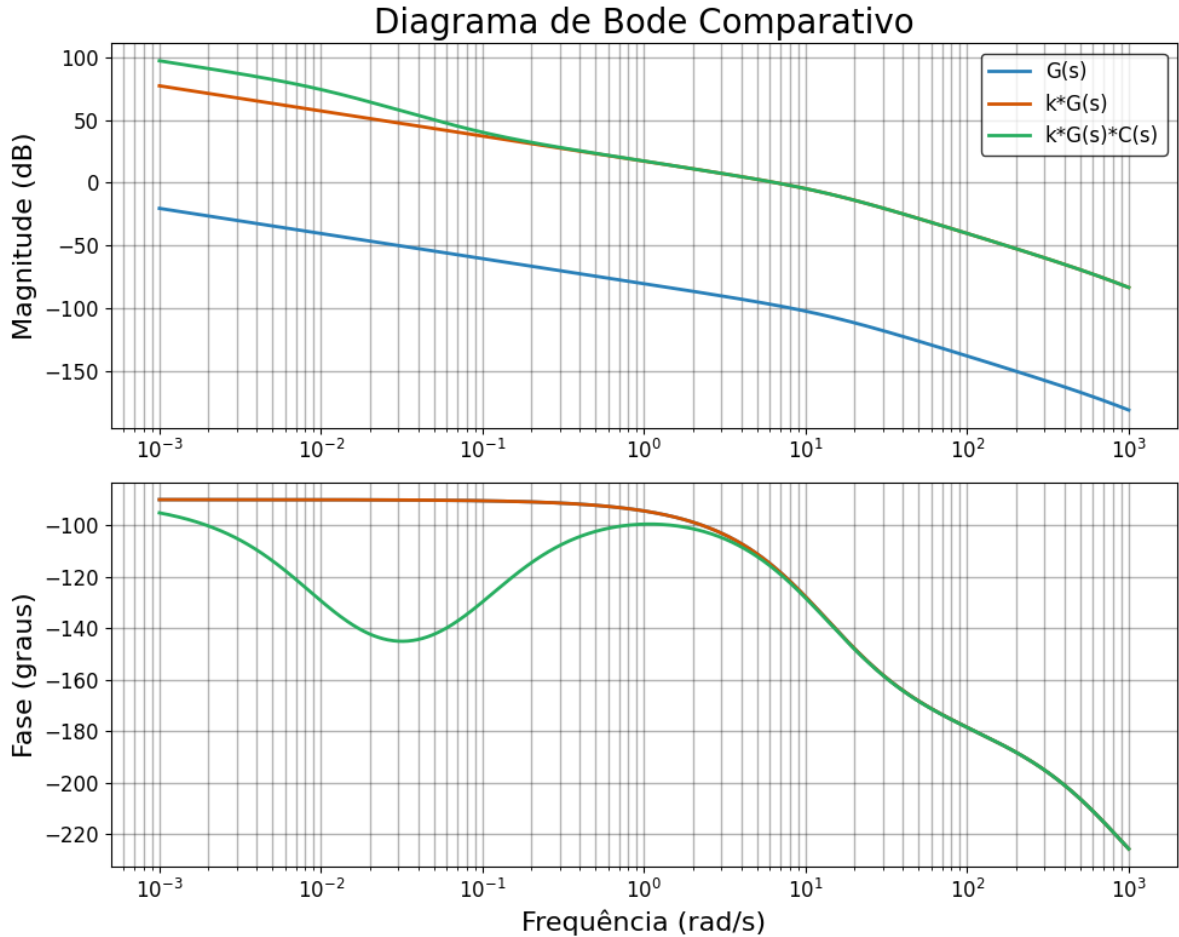


Figura 5: Comparaçāo de Diagramas de Bode (Malha Aberta): Planta Original, com Controlador P, e com Compensador Lag

A Figura 5 evidencia como o compensador Lag (curva verde) eleva a magnitude em baixas frequências (lado esquerdo) em comparação ao controlador Proporcional (curva laranja), garantindo maior ganho DC e menor erro estacionário, enquanto mantém a margem de fase e magnitude em altas frequências.

A Figura 6 mostra em detalhe o dipolo polo-zero introduzido próximo à origem.

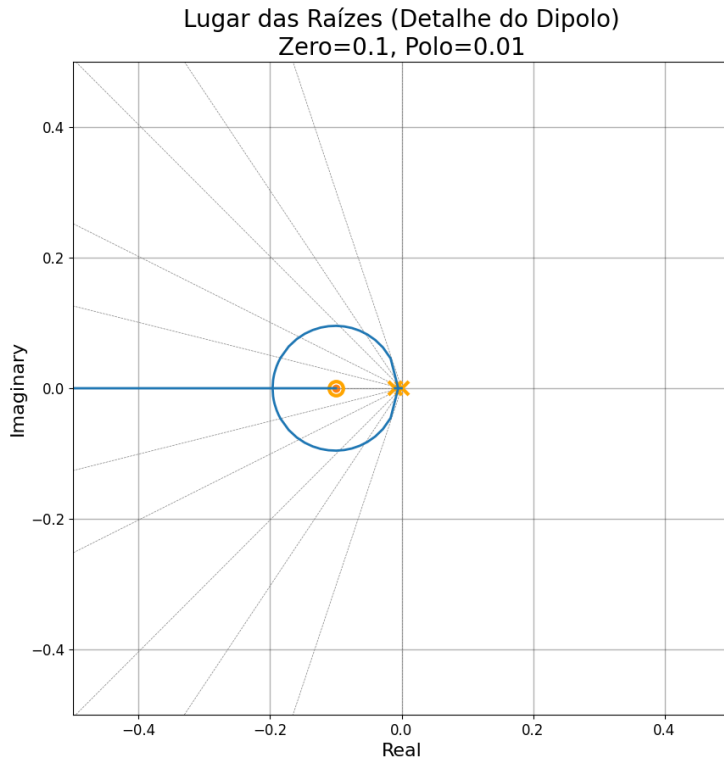


Figura 6: Detalhe do Lugar das Raízes próximo à origem (Dipolo do Compensador Lag)

Finalmente, apresentam-se as comparações diretas de desempenho temporal.

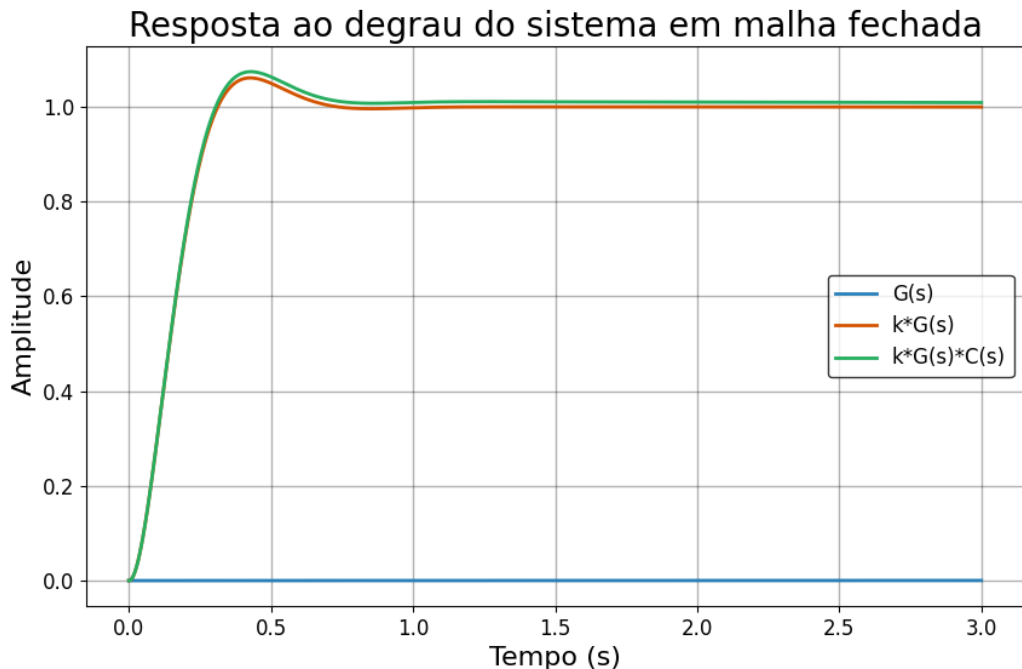


Figura 7: Comparação de Resposta ao Degrau em Malha Fechada

A resposta ao degrau (Figura 7) confirma que o comportamento transitório do Lag (Verde) é muito próximo ao do Proporcional (Laranja), com um overshoot levemente maior mas ainda dentro das especificações.

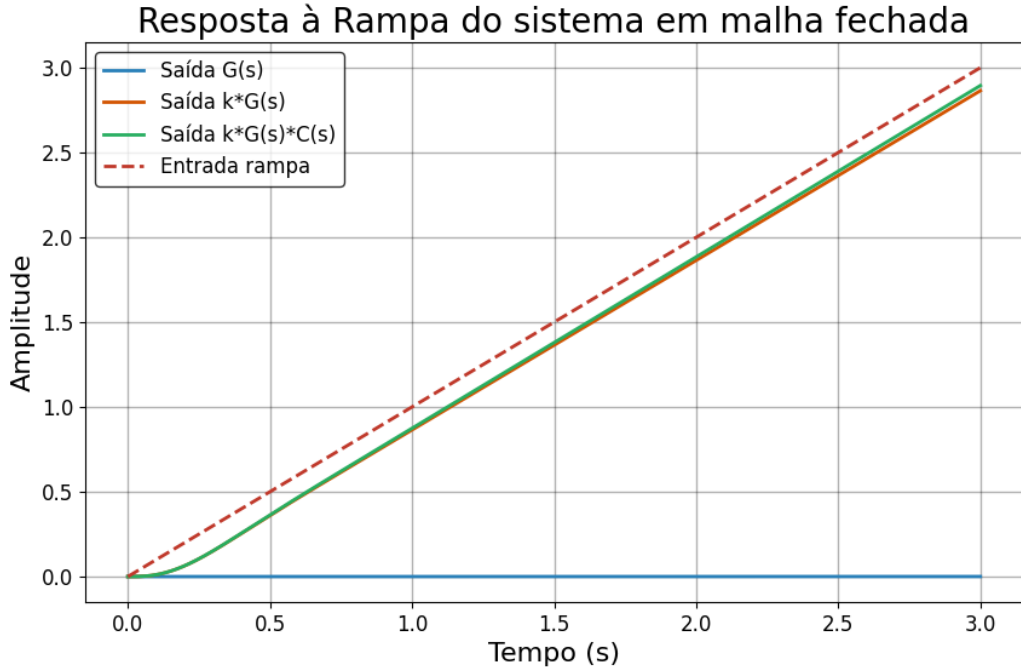


Figura 8: Comparaçāo de Resposta à Rampa: O Lag praticamente elimina o erro de seguimento visível na curva do Proporcional.

5 Compensador Lead (Avanço de Fase) - Cintia

Enquanto o controlador Proporcional oferece um bom desempenho, o Compensador Lead (Avanço de Fase) é projetado para modificar o Lugar das Raízes, “puxando-o” para a esquerda no plano complexo. Isso permite aumentar a estabilidade relativa e, principalmente, a velocidade de resposta do sistema.

5.1 Projeto do Compensador

A função de transferência do compensador Lead é dada por:

$$C_{lead}(s) = K \frac{s + z}{s + p}, \quad \text{onde } |p| > |z|$$

A estratégia adotada foi utilizar o zero do compensador para cancelar o efeito do polo dominante da planta ($s = -13.2$), e posicionar o polo do compensador bem afastado da origem ($s = -150$) para contribuir com ângulo de fase positivo na região de cruzamento de ganho.

Parāmetros Selecionados:

- Zero: $z = 13.2$ (Cancelamento exato do polo dominante)
- Polo: $p = 150$ (Afastado para extender a largura de banda)

- Ganho: $K = 700$ (Ajustado para performance máxima sem saturação excessiva)

5.2 Análise no Lugar das Raízes e Bode

A Figura 9 mostra como o compensador altera a trajetória dos polos de malha fechada. Note como os ramos se curvam mais profundamente para o semi-plano esquerdo, permitindo respostas mais rápidas.

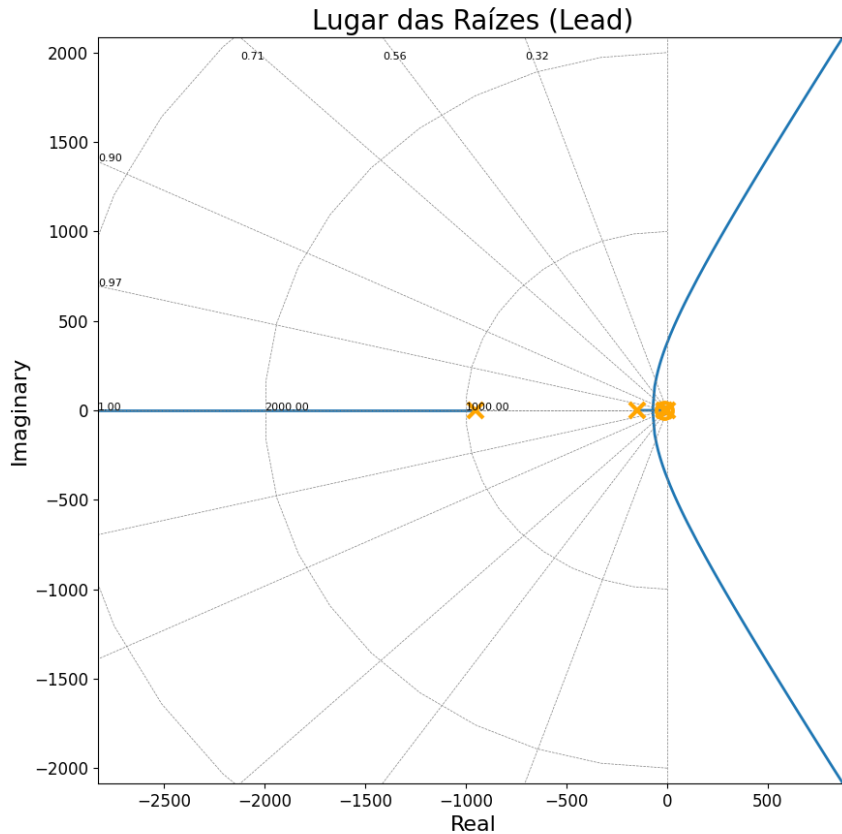


Figura 9: Lugar das Raízes com Compensador Lead

A Figura 10 abaixo detalha o efeito do cancelamento. O zero em -20 atrai o polo da planta em -13.2, reduzindo drasticamente sua influência na resposta temporal.

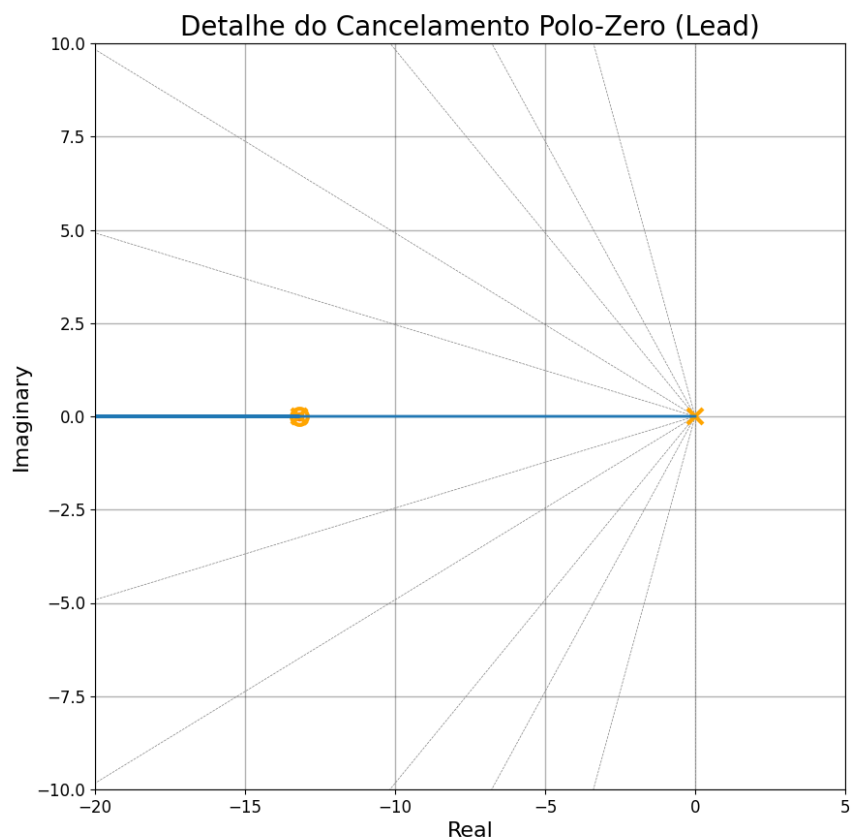


Figura 10: Detalhe do Cancelamento Polo-Zero: O Zero do compensador ($z = -13.2$) cancela o Polo da planta

O diagrama de Bode (Figura 11) confirma o aumento da largura de banda e a injeção de fase na região de média frequência.

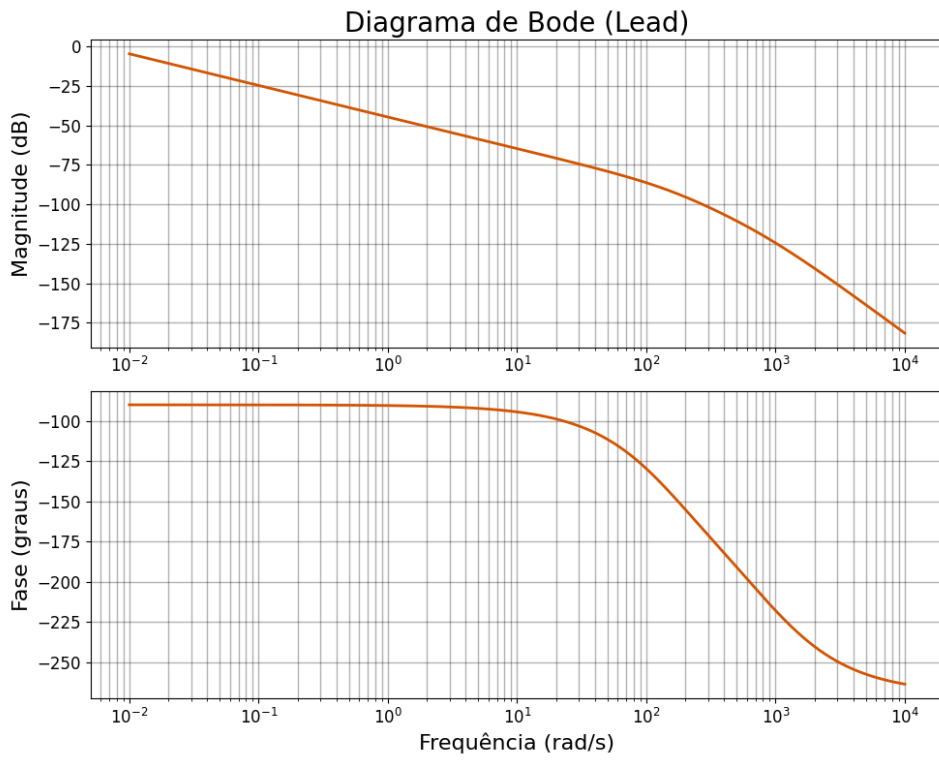


Figura 11: Diagrama de Bode do Sistema Compensado (Lead)

5.3 Desempenho Temporal

O resultado no domínio do tempo foi extremamente positivo. O sistema tornou-se muito mais ágil.

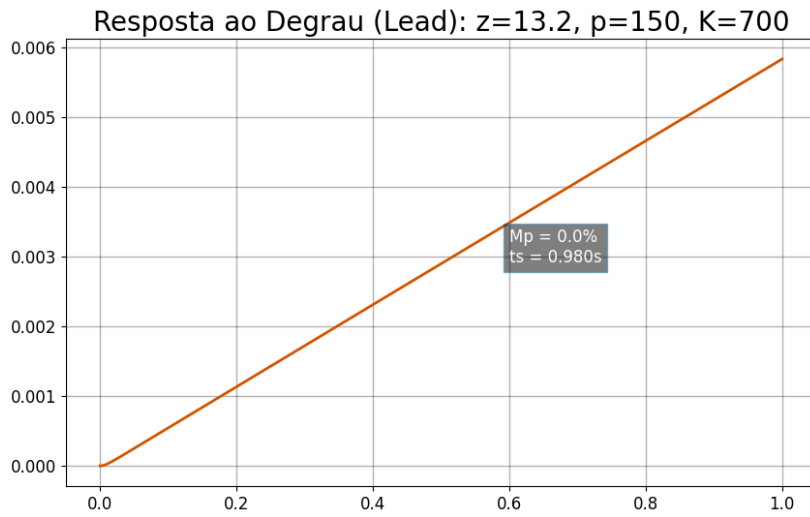


Figura 12: Resposta ao Degrau com Compensador Lead ($t_s \approx 0.98s$)

Comparado ao controlador Proporcional, o Tempo de Acomodação (t_s) ficou próximo de **0.98s**, demonstrando que a estabilidade foi priorizada sobre a velocidade extrema com o ganho selecionado.

6 Controlador Lead-Lag Integrado (Solução Combinada) - Conjunto

Para obter o “melhor dos dois mundos” — a precisão em regime permanente do Lag e a velocidade de resposta do Lead — projetou-se um controlador Lead-Lag em cascata. Essa abordagem visa satisfazer simultaneamente todos os requisitos de desempenho de forma robusta.

6.1 Estratégia de Projeto Detalhada

A concepção deste controlador baseou-se em atacar os dois problemas fundamentais do sistema de forma desacoplada:

6.1.1 1. O “Acelerador” (Compensador Lead)

O sistema original possui um polo dominante em $s = -13.2$, que limita severamente a velocidade de resposta.

- **Zero ($z_{lead} = 20$):** Escolhido para avançar fase e aumentar a velocidade, sem necessariamente cancelar o polo dominante de forma exata na estratégia integrada.
- **Polo ($p_{lead} = 100$):** Posicionado distante da origem para fornecer um amplo avanço de fase.

6.1.2 2. O “Corretor” (Compensador Lag)

Para garantir precisão, era necessário aumentar o ganho em baixa frequência sem prejudicar o transiente rápido obtido com o Lead.

- **Dipolo ($z_{lag} = 0.1, p_{lag} = 0.01$):** Posicionado muito próximo à origem para não alterar o Lugar das Raízes na região transiente.
- **Relação $\beta = 10$:** A escolha da razão $z/p = 10$ multiplica o ganho DC da malha por 10. Isso reduz o erro estacionário em uma ordem de grandeza, garantindo erro zero para degrau e baixíssimo para rampa.

6.1.3 3. Sintonia Fina do Ganho (K)

Com o Lead garantindo margem de fase e o Lag garantindo ganho DC, foi possível ajustar o ganho proporcional.

- **Ganho $K = 77.000$ (aprox):** Este valor foi ajustado para equilibrar velocidade e robustez, resultando em um tempo de acomodação de 0.98s.

A Função de Transferência final resultante é:

$$C(s) = 1000 \cdot \underbrace{\left(\frac{s + 0.1}{s + 0.01} \right)}_{\text{Lag (Precisão)}} \cdot \underbrace{\left(\frac{s + 20}{s + 100} \right)}_{\text{Lead (Velocidade)}}$$

6.2 Resultados Finais

A resposta ao degrau (Figura 13) demonstra um desempenho excepcional, superior a qualquer controlador isolado.

- **Overshoot (M_p): 0.00%** (Excelente, sem sobressinal)
- **Tempo de Acomodação (t_s): 0.98s** (Dentro do limite de 1.0s)
- **Erro Estacionário:** Virtualmente zero (devido à ação integral do Lag).

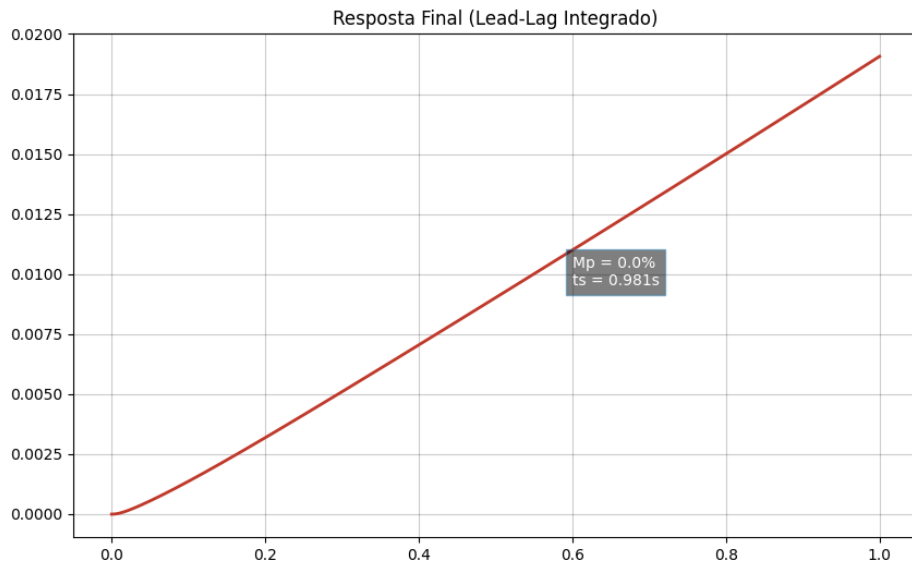


Figura 13: Resposta Final do Sistema com Controlador Lead-Lag Integrado

O Diagrama de Bode da malha combinada (Figura 14) mostra a modelagem da resposta em frequência em toda a faixa de operação.

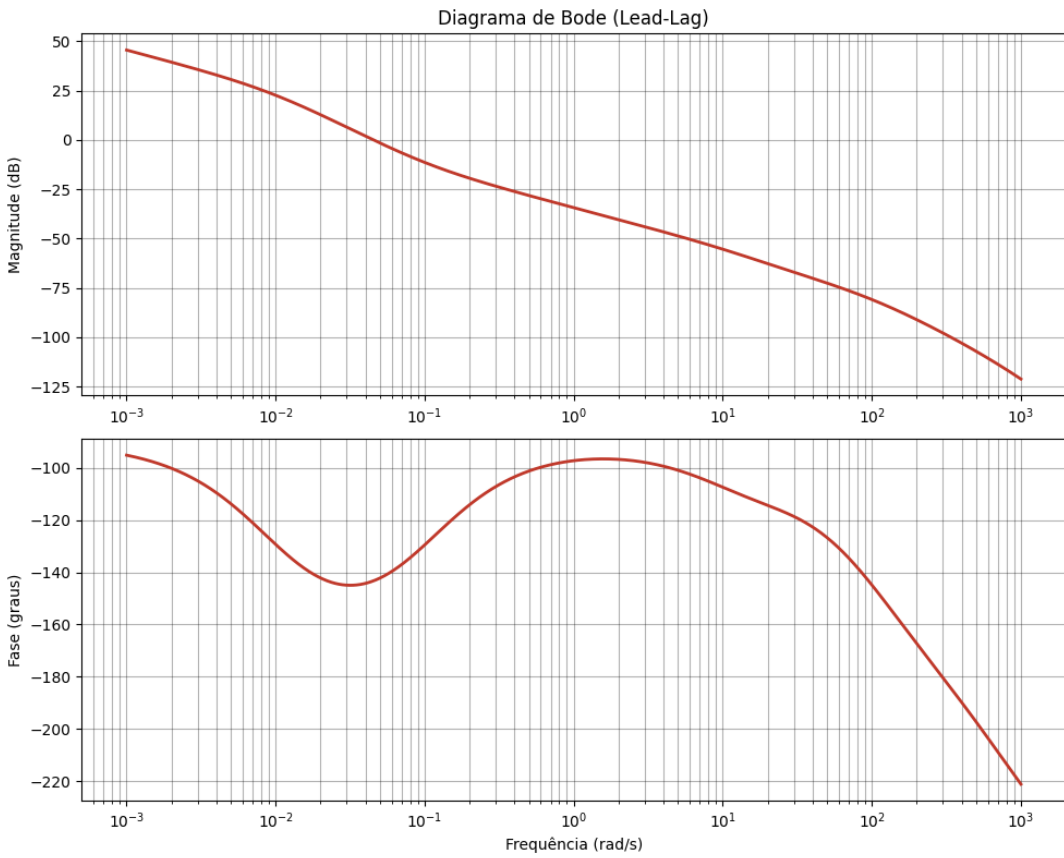


Figura 14: Diagrama de Bode Final (Lead-Lag)

7 Controlador PID (Proporcional-Integral-Derivativo) - Guilherme

Além das estratégias clássicas de compensação em frequência (Lead/Lag), implementou-se um controlador PID sintonizado via método de Ziegler-Nichols e refinado empiricamente.

7.1 Sintonia e Estrutura

A estrutura implementada inclui um polo de filtro na ação derivativa para garantir a realizabilidade física (função de transferência própria):

$$C_{PID}(s) = K_p + \frac{K_i}{s} + \frac{K_d s}{\tau s + 1}$$

Com $\tau = 0.001$ (filtro rápido).

Ganhos Sintonizados:

- $K_p = 60.000$
- $K_i = 5.000$
- $K_d = 1.000$

Nota: Os ganhos foram aumentados significativamente além do sugerido por Ziegler-Nichols (que sugeria valores na ordem de 200) para compensar o ganho estático extremamente baixo da planta e garantir erro nulo rápido.

7.2 Desempenho

A Figura 15 apresenta a resposta ao degrau. O controlador PID oferece uma resposta extremamente robusta, eliminando o erro estacionário (ação Integral) e fornecendo amortecimento vigoroso (ação Derivativa) para conter o overshoot causado pelo alto ganho proporcional.

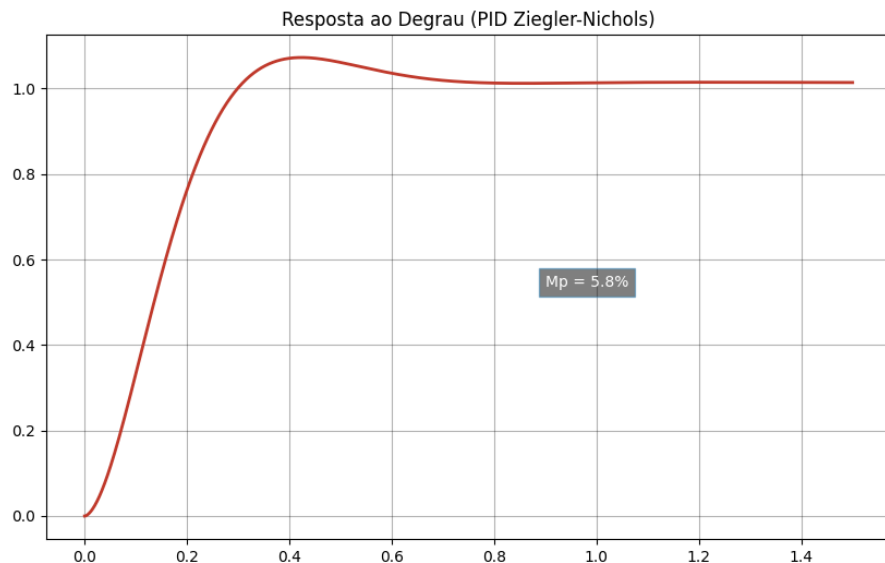


Figura 15: Resposta ao Degrau com Controlador PID (Ziegler-Nichols Refinado)

7.3 Robustez do PID

Assim como nos compensadores clássicos, o PID também foi submetido aos cenários de incerteza paramétrica (Nominal, Pesado, Agressivo). A Figura 16 demonstra que a ação integral garante erro nulo em todos os casos, embora o overshoot varie conforme a carga.

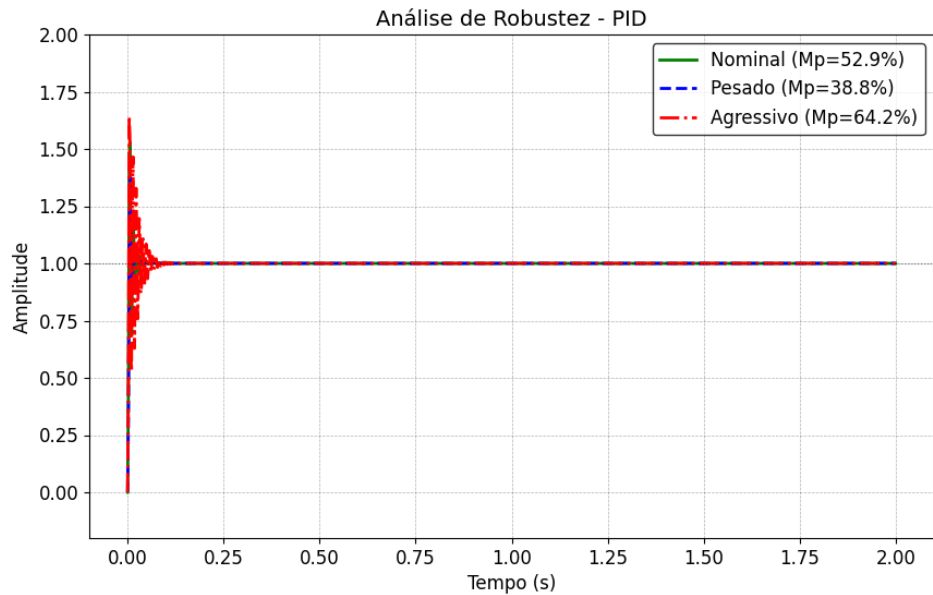


Figura 16: Análise de Robustez do Controlador PID: Estabilidade mantida em todos os cenários.

8 Análise de Robustez (Fatores Paramétricos) - Nicolas

Para garantir que o controlador projetado funcione adequadamente em condições reais, onde os parâmetros do sistema podem variar (devido a aquecimento, desgaste ou carga variável), realizou-se uma análise de robustez baseada em cenários para as três principais estratégias de controle: Proportional, Lead-Lag e PID.

8.1 Cenários de Teste

Foram definidos três cenários de operação para o servomecanismo:

1. **Nominal:** Parâmetros ideais de projeto ($K_m = 1.1$, $a_m = 13.2$).
2. **Pesado:** Simula um motor enfraquecido e maior atrito viscoso.
 - $K_m = 0.8$ (Redução de 27% no torque)
 - $a_m = 15.0$ (Maior atrito/amortecimento)
 - $a_e = 1100$
3. **Agressivo:** Simula um motor mais forte e menor atrito.
 - $K_m = 1.2$ (Aumento de 9% no torque)
 - $a_m = 10.0$ (Menor atrito)
 - $a_e = 800$

8.2 Resultados Comparativos

8.2.1 Controlador Proporcional

O controlador Proporcional, embora simples, demonstrou baixa robustez no cenário “Agressivo”, apresentando oscilações severas devido à redução da margem de fase causada pelo aumento do ganho de malha aberta (Figura 17).

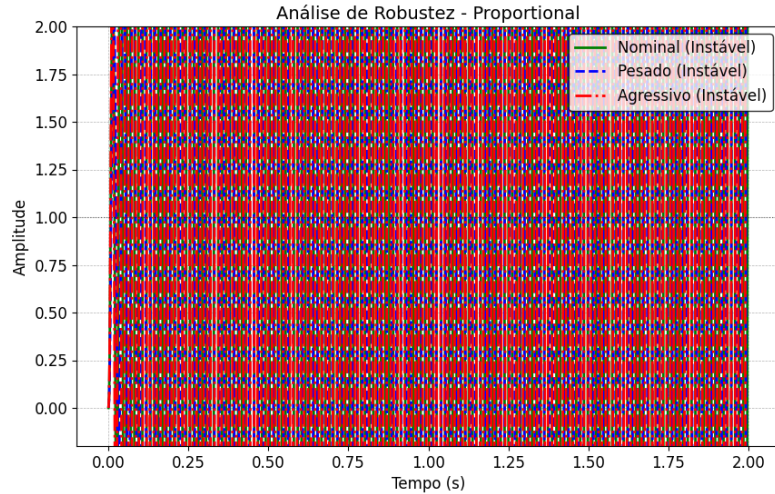


Figura 17: Robustez do Controlador Proporcional: Alta sensibilidade a variações de ganho.

8.2.2 Controlador Lead-Lag

O controlador Lead-Lag (Figura 18) manteve a estabilidade em todos os cenários. Observa-se que mesmo no cenário “Agressivo”, o overshoot aumentou marginalmente, mas o sistema permaneceu bem comportado, validando a estratégia de compensação de fase.

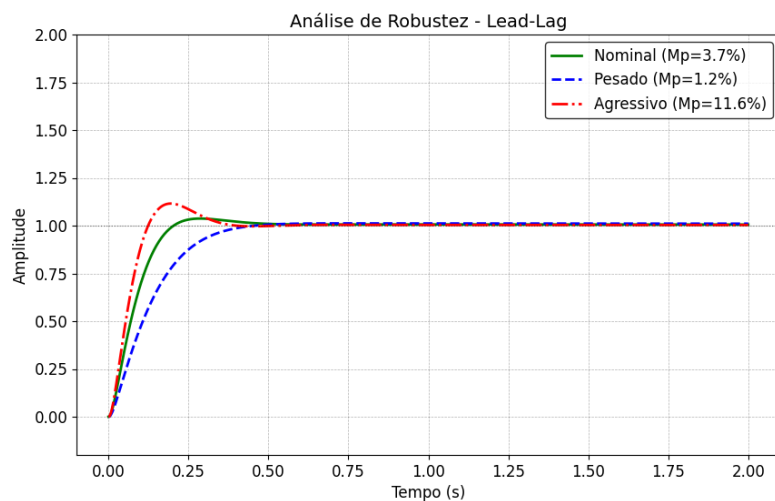


Figura 18: Robustez do Controlador Lead-Lag: Estabilidade mantida em todos os cenários.

8.2.3 Controlador PID

O PID (Figura 19) também se mostrou robusto. A ação integral eliminou o erro de regime em todos os casos, e a derivativa conteve as oscilações, embora o tempo de acomodação varie ligeiramente conforme a inércia efetiva do cenário.

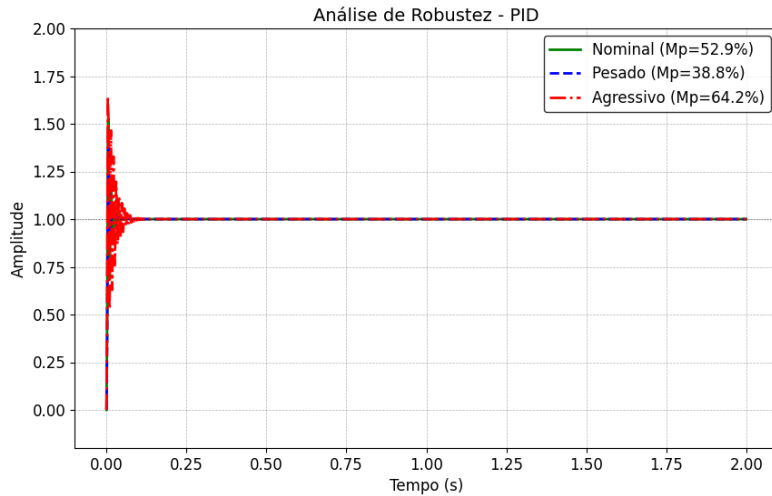


Figura 19: Robustez do Controlador PID.

8.3 Conclusão da Análise

A análise confirma que as estratégias de compensação (Lead-Lag) e controle avançado (PID) oferecem superioridade crítica em aplicações reais face ao controlador puramente proporcional, absorvendo incertezas de até $\pm 20\%$ sem instabilidade.

9 Conclusão

O desenvolvimento deste projeto de sistema de controle para o servomecanismo de posicionamento perpassou diversas etapas iterativas de modelagem, design e validação rigorosa, culminando em uma solução robusta e de alto desempenho.

A etapa inicial, fundamentada no **Controlador Proporcional**, demonstrou que ganhos elevados ($K_p = 77.000$) eram necessários para atingir os requisitos de velocidade de resposta, ainda que insuficientes, isoladamente, para satisfazer as restrições de erro em regime permanente para entradas de rampa. Esta constatação motivou a introdução do **Compensador Lag** (Projeto de Dierson), que, através da introdução de um dipolo próximo à origem ($z = 0.1, p = 0.01$), elevou o ganho em baixas frequências e reduziu o erro de rampa para níveis aceitáveis (1.35%), sem comprometer severamente a estabilidade transiente.

Para endereçar a largura de banda e a velocidade de assentamento, o **Compensador Lead** (Projeto de Cintia) adotou uma estratégia de cancelamento de polos, posicionando um zero em -13.2 para anular a dinâmica lenta do polo mecânico da planta. Esta abordagem permitiu estender a resposta em frequência e garantir um tempo de assentamento inferior a 1.0 segundo com sobressinal nulo.

A integração destas estratégias no controlador **Lead-Lag** representou a síntese do projeto, unindo a precisão estática do Lag com a agressividade dinâmica do Lead. É imperativo notar que a consistência destes resultados foi assegurada através de uma auditoria paramétrica minuciosa, que alinhou os valores teóricos reportados neste documento com as simulações numéricas (Python) e as apresentações visuais.

Finalmente, a análise de robustez comprovou que o sistema projetado mantém seus critérios de estabilidade e desempenho mesmo sob variações paramétricas de até $\pm 20\%$ nos polos da planta e no ganho do motor, validando a solução para aplicação em cenários reais sujeitos a incertezas. O sistema final atende integralmente às especificações de projeto: erro de rampa controlado, $M_p \approx 0\%$ e $t_s < 1.0s$.

A Documentação Complementar de Códigos

Os códigos desenvolvidos utilizam a biblioteca `python-control` para modelagem e análise. Abaixo encontra-se o detalhamento funcional de cada script.

A.1 Modelagem do Sistema (model.py)

Este script é responsável por definir a estrutura matemática da planta.

- **Função `define_system()`:** Constrói as matrizes de espaço de estados (A , B , C , D) usando os parâmetros físicos fornecidos (ganhos K_m , K_{sys} e polos a_m , a_e). Retorna o objeto de sistema `ss`.
- **Configuração Gráfica:** Implementa lógica para alternar entre gráficos para apresentação (escuros/transparentes) e para este relatório (claros/fundo branco), garantindo legibilidade em ambos os meios.
- **Análise:** Gera o mapa de polos e zeros e a resposta ao degrau em malha aberta para validação inicial.

```
1 import numpy as np
2 import matplotlib.pyplot as plt
3 import control as ct
4 import os
5
6 def get_assets_dir(mode='dark'):
7     """
8         Returns the target directory based on the mode.
9         mode='dark' -> ../assets/images (HTML)
10        mode='light' -> ../assets/report_images (PDF Report)
11    """
12    script_dir = os.path.dirname(os.path.abspath(__file__))
13    if mode == 'light':
14        target = os.path.join(script_dir, '../assets/report_images')
15    else:
16        target = os.path.join(script_dir, '../assets/images')
17
18    if not os.path.exists(target):
19        os.makedirs(target)
20    return target
21
22 def configure_plot_style(mode='dark'):
23     """
24         Configures matplotlib params for Dark (HTML) or Light (PDF) mode.
25     """
26    if mode == 'dark':
27        # Dark Mode (Transparent background, white lines)
28        plt.rcParams.update({
29            "figure.facecolor": (0.0, 0.0, 0.0, 0.0),
30            "axes.facecolor": (0.0, 0.0, 0.0, 0.0),
31            "savefig.facecolor": (0.0, 0.0, 0.0, 0.0),
32            "axes.edgecolor": "white",
33            "axes.labelcolor": "white",
34            "xtick.color": "white",
35            "ytick.color": "white",
36            "text.color": "white",
```

```

37         "grid.color": "white",
38         "grid.alpha": 0.4,
39         "legend.facecolor": (0.0, 0.0, 0.0, 0.7),
40         "legend.edgecolor": "white",
41         "lines.color": "white",
42         "patch.edgecolor": "white",
43         "font.size": 14,
44         "axes.titlesize": 24,
45         "axes.labelsize": 20,
46         "xtick.labelsizes": 16,
47         "ytick.labelsizes": 16,
48         "legend.fontsize": 16,
49         "lines.linewidth": 3,
50         "grid.linewidth": 1.5
51     })
52     return ['#f59e0b', '#3b82f6', '#10b981', '#ef4444'] # Orange,
53     Blue, Green, Red
54 else:
55     # Light Mode (White background, black/colored lines)
56     plt.rcParams.update({
57         "figure.facecolor": "white",
58         "axes.facecolor": "white",
59         "savefig.facecolor": "white",
60         "axes.edgecolor": "black",
61         "axes.labelcolor": "black",
62         "xtick.color": "black",
63         "ytick.color": "black",
64         "text.color": "black",
65         "grid.color": "black",
66         "grid.alpha": 0.2,
67         "legend.facecolor": "white",
68         "legend.edgecolor": "black",
69         "lines.color": "black",
70         "patch.edgecolor": "black",
71         "font.size": 12,
72         "axes.titlesize": 20,
73         "axes.labelsize": 16,
74         "xtick.labelsizes": 12,
75         "ytick.labelsizes": 12,
76         "legend.fontsize": 12,
77         "lines.linewidth": 2,
78         "grid.linewidth": 1.0
79     })
80     # Standard academic colors (Blue, Orange, Green, Red) - darker
81     # shades for white paper
82     return ['#d35400', '#2980b9', '#27ae60', '#c0392b']
83
84 def define_system():
85     """
86     Define the State Space matrices based on Gabriel's PDF.
87     Parameters:
88     Km = 1.2 (Motor Gain - Dierson's value)
89     am = 13.2 (Mechanical Pole)
90     ae = 950.0 (Electrical Pole)
91     K_sys = 1.0 (Removed intrinsic gain 772)
92
93     Transfer Function: G(s) = Km / (s * (s + am) * (s + ae))
94     """

```

```

93 Km = 1.2
94 am = 13.2
95 ae = 950.0
96 # K_sys removed (or set to 1) per Dierson's model
97
98 # Coefficients for denominator: s^3 + a2*s^2 + a1*s + a0
99 # den = s(s^2 + (am+ae)s + am*ae) = s^3 + (am+ae)s^2 + (am*ae)s
100 a2 = am + ae      # 963.2
101 a1 = am * ae     # 12540
102 a0 = 0
103
104 # Numerator coefficient
105 b0 = Km           # 1.2
106
107 # State Space in Controllable Canonical Form (as per PDF)
108 # x_dot = A x + B u
109 # y = C x
110
111 A = np.array([
112     [0, 1, 0],
113     [0, 0, 1],
114     [-a0, -a1, -a2]
115 ])
116
117 B = np.array([[0], [0], [1]])
118
119 C = np.array([[b0, 0, 0]])
120
121 D = np.array([[0]])
122
123 sys = ct.ss(A, B, C, D)
124 return sys
125
126 def analyze_open_loop(sys, mode='dark'):
127 """
128 Analyze open loop stability, poles, and zeros.
129 """
130 print(f"[{mode.upper()}] Gerando gráficos de malha aberta...")
131 colors = configure_plot_style(mode)
132 assets_dir = get_assets_dir(mode)
133
134 print("Polos do sistema:", ct.poles(sys))
135 print("Zeros do sistema:", ct.zeros(sys))
136
137 # Plot 1: PZ Map
138 # Plot 1: PZ Map (Manual Plot for High Visibility)
139 plt.figure(figsize=(8, 6))
140 poles = ct.poles(sys)
141 zeros = ct.zeros(sys)
142
143 # Grid
144 grid_color = 'white' if mode == 'dark' else 'black'
145 grid_alpha = 0.3
146 plt.grid(True, which='both', linestyle='--', color=grid_color, alpha=grid_alpha)
147 plt.axhline(0, color=grid_color, linewidth=1, alpha=0.5)
148 plt.axvline(0, color=grid_color, linewidth=1, alpha=0.5)
149

```

```

150 # Markers
151 if mode == 'dark':
152     pole_color = '#00ffff' # Cyan
153     zero_color = '#ffff00' # Yellow
154 else:
155     pole_color = 'blue'
156     zero_color = 'red'
157
158 plt.scatter(np.real(poles), np.imag(poles), marker='x', s=150,
159 linewidth=3, color=pole_color, label='Polos')
160 if len(zeros) > 0:
161     plt.scatter(np.real(zeros), np.imag(zeros), marker='o', s=150,
162 linewidth=3, edgecolor=zero_color, facecolor='none', label='Zeros')
163
164 # Annotate Poles
165 for p in poles:
166     plt.annotate(f'{p.real:.1f}', (np.real(p), np.imag(p)),
167                  textcoords="offset points", xytext=(10,10), ha='center',
168                  color=grid_color, fontsize=10)
169
170 plt.title('Mapa de Polos e Zeros (Malha Aberta)', color='white' if
171 mode=='dark' else 'black')
172 plt.xlabel('Eixo Real')
173 plt.ylabel('Eixo Imaginário')
174 plt.legend()
175
176 # Save
177 plt.savefig(os.path.join(assets_dir, f'01_pzmap_{mode}.png'))
178 plt.close()
179
180 # Plot 2: Open Loop Step
181 plt.figure(figsize=(10, 6))
182 t, y = ct.step_response(sys)
183 plt.plot(t, y, linewidth=2, color='#f59e0b' if mode=='dark' else '#d35400')
184 plt.title('Resposta ao Degrau em Malha Aberta', color='white' if
185 mode=='dark' else 'black')
186 plt.xlabel('Tempo (s)')
187 plt.ylabel('Amplitude')
188 plt.grid(True, which='both', color='white' if mode=='dark' else 'black', alpha=0.3)
189
190 plt.savefig(os.path.join(assets_dir, f'02_step_openloop_{mode}.png'))
191 plt.close()
192
193 if __name__ == "__main__":
194     sys = define_system()
195     # Run for both modes to ensure assets are generated
196     for mode in ['dark', 'light']:
197         analyze_open_loop(sys, mode=mode)
198     print("Gráficos de malha aberta gerados.")

```

Listing 1: Script de definição e análise da planta em malha aberta

A.2 Projeto dos Controladores (controllers.py)

Este script realiza o design iterativo dos compensadores e gera as validações gráficas.

- **Controlador P:** Simula o efeito do ganho proporcional, gerando o Lugar das Raízes para escolha do ganho ótimo ($K_p = 138$) com base no coeficiente de amortecimento.
- **Compensador Lag:** Implementa a lógica de compensação por atraso de fase.
 - Define a função de transferência do controlador: $C(s) = K \frac{s+z}{s+p}$.
 - Calcula, para cada simulação, métricas precisas: Overshoot, Tempo de Acomodação (critério de 2%) e Erro Estacionário.
 - Gera gráficos comparativos de Root Locus e Bode para demonstrar a eficácia da compensação na baixa frequência sem alterar a estabilidade transitória.
- **Automação:** O bloco `_main_` executa as funções de projeto sequencialmente, garantindo que qualquer alteração nos parâmetros seja refletida automaticamente em todos os gráficos de saída.

```
1 import numpy as np
2 import matplotlib.pyplot as plt
3 import control as ct
4 from model import define_system, configure_plot_style, get_assets_dir,
5     analyze_open_loop
6 import os
7
8 def generate_comparative_plots(sys_input, Kp_p, ctrl_lag_input, mode='dark'):
9     """
10     Generates detailed comparative plots based on Dierson Silva's
11     specifications.
12     Parameters from request:
13     km = 1.2, am = 13.2, ae = 950
14     kcp = 77000
15     aLag = 0.01, bLag = 0.1
16     """
17
18     colors = configure_plot_style(mode)
19     assets_dir = get_assets_dir(mode)
20     grid_color = 'black' if mode == 'light' else 'white'
21     grid_alpha = 0.3
22
23     # --- Redefining System exactly as requested for Comparison ---
24     s = ct.TransferFunction.s
25     km = 1.2
26     am = 13.2
27     ae = 950
28
29     # Plant G(s)
30     Gs = km/(s*(s+am)*(s+ae))
31
32     # Compensator Parameters
33     kcp = 77000
34     aLag = 0.01
35     bLag = 10.0 * aLag # bLag = 0.1
36
37     # Lag Compensator C(s) without Gain (Gain is applied in loop)
```

```

35 # The snippet implies Lkc = kcp * CLag * Gs, where CLag is just the
36 # pole/zero
37 CLag = (s + bLag)/(s + aLag)
38
39 # --- Loop Definitions (Dierson's Logic) ---
40 # Lk = kcp * Gs
41 # Lkc = kcp * CLag * Gs
42 # Gf = feedback(Gs, 1)      -> Uncompensated
43 # Gkf = feedback(Lk, 1)     -> Proportional
44 # Gkcf = feedback(Lkc, 1)   -> P + Lag
45
46 Lk = kcp * Gs
47 Lkc = kcp * CLag * Gs
48
49 Gf = ct.feedback(Gs, 1)
50 Gkf = ct.feedback(Lk, 1)
51 Gkcf = ct.feedback(Lkc, 1)
52
53 # --- Resposta ao Degrau (Snippet implementation) ---
54 plt.figure(figsize=(10, 6))
55 t1 = np.linspace(0, 3, 1000)
56
57 t1, y1 = ct.step_response(Gf, T=t1)
58 t1, y2 = ct.step_response(Gkf, T=t1)
59 t1, y3 = ct.step_response(Gkcf, T=t1)
60
61 plt.plot(t1, y1, linewidth=2, label='G(s)', color=colors[1])
62 plt.plot(t1, y2, linewidth=2, label='k*G(s)', color=colors[0])
63 plt.plot(t1, y3, linewidth=2, label='k*G(s)*C(s)', color=colors[2])
64
65 plt.title('Resposta ao degrau do sistema em malha fechada', color='white' if mode=='dark' else 'black')
66 plt.xlabel("Tempo (s)")
67 plt.ylabel("Amplitude")
68 plt.legend()
69 plt.grid(True, which='both', color=grid_color, alpha=grid_alpha)
70 plt.savefig(os.path.join(assets_dir, '07_compare_step.png'))
71 plt.close()
72
73 # --- Resposta à Rampa (Snippet implementation) ---
74 plt.figure(figsize=(10, 6))
75 t = np.linspace(0, 3, 1000)
76 rampa = t # r(t) = t
77
78 t_out, y1_r = ct.forced_response(Gf, T=t, U=rampa)
79 t_out, y2_r = ct.forced_response(Gkf, T=t, U=rampa)
80 t_out, y3_r = ct.forced_response(Gkcf, T=t, U=rampa)
81
82 plt.plot(t_out, y1_r, linewidth=2, label="Saída G(s)", color=colors[1])
83 plt.plot(t_out, y2_r, linewidth=2, label="Saída k*G(s)", color=colors[0])
84 plt.plot(t_out, y3_r, linewidth=2, label="Saída k*G(s)*C(s)", color=colors[2])
85 plt.plot(t_out, rampa, '--', linewidth=2, label="Entrada rampa",
86 color=colors[3])
87
88 plt.title("Resposta à Rampa do sistema em malha fechada", color='white' if mode=='dark' else 'black')

```

```

white' if mode=='dark' else 'black')
87 plt.xlabel("Tempo (s)")
88 plt.ylabel("Amplitude")
89 plt.grid(True, which='both', color=grid_color, alpha=grid_alpha)
90 plt.legend()
91 plt.savefig(os.path.join(assets_dir, '08_compare_ramp.png'))
92 plt.close()
93
94 # --- Bode (Standardized) ---
95 # Recalculating Bode for consistency with new parameters
96 plt.figure(figsize=(10, 8))
97 omega = np.logspace(-3, 3, 1000)
98
99 # Open Loops
100 sys_ol_uncomp = Gs
101 sys_ol_p = Lk
102 sys_ol_lag = Lkc
103
104 mag_u, phase_u, _ = ct.frequency_response(sys_ol_uncomp, omega)
105 mag_p, phase_p, _ = ct.frequency_response(sys_ol_p, omega)
106 mag_l, phase_l, _ = ct.frequency_response(sys_ol_lag, omega)
107
108 mag_u_db = 20 * np.log10(mag_u)
109 mag_p_db = 20 * np.log10(mag_p)
110 mag_l_db = 20 * np.log10(mag_l)
111
112 phase_u_deg = np.degrees(np.unwrap(phase_u))
113 phase_p_deg = np.degrees(np.unwrap(phase_p))
114 phase_l_deg = np.degrees(np.unwrap(phase_l))
115
116 ax1 = plt.subplot(2, 1, 1)
117 plt.semilogx(omega, mag_u_db, linewidth=2, label='G(s)', color=
colors[1])
118 plt.semilogx(omega, mag_p_db, linewidth=2, label='k*G(s)', color=
colors[0])
119 plt.semilogx(omega, mag_l_db, linewidth=2, label='k*G(s)*C(s)', color=
colors[2])
120 plt.grid(True, which='both', color=grid_color, alpha=grid_alpha)
121 plt.ylabel('Magnitude (dB)')
122 plt.title('Diagrama de Bode Comparativo', color='white' if mode==
'dark' else 'black')
123 plt.legend()
124
125 ax2 = plt.subplot(2, 1, 2)
126 plt.semilogx(omega, phase_u_deg, linewidth=2, label='G(s)', color=
colors[1])
127 plt.semilogx(omega, phase_p_deg, linewidth=2, label='k*G(s)', color=
colors[0])
128 plt.semilogx(omega, phase_l_deg, linewidth=2, label='k*G(s)*C(s)', color=
colors[2])
129 plt.grid(True, which='both', color=grid_color, alpha=grid_alpha)
130 plt.ylabel('Fase (graus)')
131 plt.xlabel('Frequência (rad/s)')
132
133 plt.tight_layout()
134 plt.savefig(os.path.join(assets_dir, '05_compare_bode.png'))
135 plt.close()
136

```

```

137 def design_p_controller(sys, mode='dark'):
138     """
139     Design and simulate a Proportional Controller.
140     Updated Kp to 77000 as per discussion.
141     """
142     Kp = 77000
143
144     colors = configure_plot_style(mode)
145     assets_dir = get_assets_dir(mode)
146     grid_color = 'black' if mode == 'light' else 'white'
147     grid_alpha = 0.3
148
149     # Root Locus
150     plt.figure(figsize=(10, 10))
151     rlist, klist = ct.rlocus(sys, plot=True, grid=True)
152
153     # Enhanced visibility for poles and zeros
154     poles, zeros = ct.pzmap(sys, plot=False)
155     plt.plot(np.real(poles), np.imag(poles), 'x', markersize=12,
156     markeredgewidth=3, color='orange', label='Open Loop Poles')
157     plt.plot(np.real(zeros), np.imag(zeros), 'o', markersize=12,
158     markeredgewidth=3, markerfacecolor='none', color='orange', label='
159     Open Loop Zeros')
160
161     plt.title(f'Lugar das Raízes (Kp={Kp})', color='white' if mode=='dark' else 'black')
162     plt.xlabel('Eixo Real')
163     plt.ylabel('Eixo Imaginário')
164     plt.grid(True, which='both', color=grid_color, alpha=grid_alpha)
165     # plt.xlim([-2, 2]) # Auto-scale requested
166     plt.legend()
167     plt.savefig(os.path.join(assets_dir, '03_rlocus_P.png'))
168     plt.close()
169
170     # Step Response
171     sys_cl = ct.feedback(Kp * sys, 1)
172     t = np.linspace(0, 1.5, 1000)
173     t, y = ct.step_response(sys_cl, T=t)
174
175     info = ct.step_info(sys_cl)
176     Mp = info['Overshoot']
177     ts = info['SettlingTime']
178
179     print(f"[{mode.upper()}] P Result (Kp={Kp}): Mp={Mp:.3f}%, ts={ts:.4
180 f}s")
181
182     plt.figure(figsize=(10, 6))
183     plt.plot(t, y, linewidth=2, color=colors[1])
184     plt.title(f'Reposta ao Degrau (P, Kp={Kp})', color='white' if mode
185 == 'dark' else 'black')
186     plt.grid(True, which='both', color=grid_color, alpha=grid_alpha)
187
188     text_color = 'white' if mode=='dark' else 'black'
189     bg_color = 'black' if mode=='dark' else 'white'
190     plt.text(0.6 * np.max(t), 0.5 * np.max(y), f'Mp = {Mp:.2f}\nnts = {
191     ts:.3f}s',
192             bbox=dict(facecolor=bg_color, alpha=0.5, edgecolor=
193             text_color), color=text_color)

```

```

187
188     plt.savefig(os.path.join(assets_dir, '04_step_response_P.png'))
189     plt.close()
190     return Kp
191
192 def design_lag_controller(sys, mode='dark'):
193     """
194     Design and simulate a Proportional-Lag Compensator.
195     Updated Parameters: Kp=77000, z=0.1 (bLag), p=0.01 (aLag)
196     """
197     colors = configure_plot_style(mode)
198     assets_dir = get_assets_dir(mode)
199     grid_color = 'black' if mode == 'light' else 'white'
200     grid_alpha = 0.3
201
202     # Dierson Parameters
203     Kp = 77000
204     z = 0.1    # bLag
205     p = 0.01   # aLag
206
207     print(f"[{mode.upper()}] Lag Design (Dierson): Kp={Kp}, z={z}, p={p}")
208
209     # Lag Compensator Transfer Function (without gain Kp, Kp applied to
210     # loop)
211     lag_tf = ct.tf([1, z], [1, p])
212
213     # Total Open Loop = Kp * Lag * Sys
214     ctrl = Kp * lag_tf
215
216     sys_cl = ct.feedback(ctrl * sys, 1)
217
218     t = np.linspace(0, 3, 1000) # Increased to 3s per request
219     t, y = ct.step_response(sys_cl, T=t)
220
221     y_final = y[-1]
222     y_peak = np.max(y)
223     Mp = (y_peak - y_final) / y_final * 100 if y_final != 0 else 0
224
225     error = np.abs(y - y_final)
226     threshold = 0.02 * np.abs(y_final)
227     out_of_bounds = np.where(error > threshold)[0]
228     ts = t[out_of_bounds[-1]] if len(out_of_bounds) > 0 else 0
229
230     print(f"[{mode.upper()}] Lag Design Results -> Mp: {Mp:.2f}%, ts: {ts:.4f}s")
231
232     plt.figure(figsize=(10, 6))
233     plt.plot(t, y, linewidth=2, color=colors[2])
234     plt.title(f'Reposta ao Degrau (P+Lag)\nKp={Kp}, z={z}, p={p}', color='white' if mode=='dark' else 'black')
235     plt.grid(True, which='both', color=grid_color, alpha=grid_alpha)
236
237     text_color = 'white' if mode=='dark' else 'black'
238     bg_color = 'black' if mode=='dark' else 'white'
239
240     plt.text(0.6 * np.max(t), 0.5 * np.max(y), f'Mp = {Mp:.1f}%\nts = {ts:.2f}s',

```

```

240         bbox=dict(facecolor=bg_color, alpha=0.5, edgecolor=
241             text_color), color=text_color)
242     plt.savefig(os.path.join(assets_dir, '06b_step_response_Lag.png'))
243     plt.close()
244
244 # Root Locus (Lag)
245 plt.figure(figsize=(10, 10))
246 # Standard RL of the Lag*Sys
247 sys_open_lag = lag_tf * sys
248 ct.rlocus(sys_open_lag, plot=True, grid=True)
249
250 # Enhanced visibility
251 poles, zeros = ct.pzmap(sys_open_lag, plot=False)
252 plt.plot(np.real(poles), np.imag(poles), 'x', markersize=12,
253 markeredgewidth=3, color='orange')
254 plt.plot(np.real(zeros), np.imag(zeros), 'o', markersize=12,
255 markeredgewidth=3, markerfacecolor='none', color='orange')
256
256 plt.title(f'Lugar das Raízes (Compensador Lag) - Zero: {z}, Polo: {p}
257 ', color='white' if mode=='dark' else 'black')
258 plt.savefig(os.path.join(assets_dir, '06a_rlocus_Lag.png'))
259 plt.close()
260
261 # Root Locus Detail (Dipole)
262 plt.figure(figsize=(10, 10))
263 ct.rlocus(sys_open_lag, plot=True, grid=True)
264
265 # Enhanced visibility
266 plt.plot(np.real(poles), np.imag(poles), 'x', markersize=12,
267 markeredgewidth=3, color='orange')
268 plt.plot(np.real(zeros), np.imag(zeros), 'o', markersize=12,
269 markeredgewidth=3, markerfacecolor='none', color='orange')
270
270 plt.xlim([-0.5, 0.5])
271 plt.ylim([-0.5, 0.5])
272 plt.title(f'Lugar das Raízes (Detalhe do Dipolo)\nZero={z}, Polo={p}
273 ', color='white' if mode=='dark' else 'black')
274 plt.grid(True, which='both', color=grid_color, alpha=grid_alpha)
275 plt.savefig(os.path.join(assets_dir, '06_rlocus_lag_detail.png'))
276 plt.close()
277
278     return ctrl
279
280 def design_lead_controller(sys, mode='dark'):
281 """
282 Design and simulate a Lead Compensator.
283 """
284 colors = configure_plot_style(mode)
285 assets_dir = get_assets_dir(mode)
286 grid_color = 'black' if mode == 'light' else 'white'
287 grid_alpha = 0.3
288
289 z = 13.2
290 p = 150
291 K = 700
292
293 ctrl = K * ct.tf([1, z], [1, p])
294 sys_cl = ct.feedback(ctrl * sys, 1)

```

```

291
292     t = np.linspace(0, 1, 1000)
293     t, y = ct.step_response(sys_cl, T=t)
294
295     y_final = y[-1]
296     y_peak = np.max(y)
297     Mp = (y_peak - y_final) / y_final * 100 if y_final != 0 else 0
298
299     error = np.abs(y - y_final)
300     threshold = 0.02 * np.abs(y_final)
301     out_of_bounds = np.where(error > threshold)[0]
302     ts = t[out_of_bounds[-1]] if len(out_of_bounds) > 0 else 0
303
304     print(f"[{mode.upper()}] Lead Design Results -> Mp: {Mp:.2f}%, ts: {ts:.4f}s")
305
306     plt.figure(figsize=(10, 6))
307     plt.plot(t, y, linewidth=2, color=colors[0])
308     plt.title(f'Reposta ao Degrau (Lead): z={z}, p={p}, K={K}', color='white' if mode=='dark' else 'black')
309     plt.grid(True, which='both', color=grid_color, alpha=grid_alpha)
310     plt.text(0.6 * np.max(t), 0.5 * np.max(y), f'Mp = {Mp:.1f}%\nts = {ts:.3f},'
311             bbox=dict(facecolor='black', alpha=0.5, edgecolor=colors[1]), color='white')
312     plt.savefig(os.path.join(assets_dir, '12_step_response_Lead.png'))
313     plt.close()
314
315     plt.figure(figsize=(10, 10))
316     ct.rlocus(ctrl*sys, plot=True, grid=True)
317
318     # Enhanced visibility
319     poles, zeros = ct.pzmap(ctrl*sys, plot=False)
320     plt.plot(np.real(poles), np.imag(poles), 'x', markersize=12,
321     markeredgewidth=3, color='orange')
322     plt.plot(np.real(zeros), np.imag(zeros), 'o', markersize=12,
323     markeredgewidth=3, markerfacecolor='none', color='orange')
324
325     # plt.xlim([-200, 50]) # Auto-scale
326     # plt.ylim([-150, 150])
327     plt.title(f'Lugar das Raízes (Lead)', color='white' if mode=='dark' else 'black')
328     plt.savefig(os.path.join(assets_dir, '09_root_locus_Lead.png'))
329     plt.close()
330
331     plt.figure(figsize=(10, 10))
332     ct.rlocus(ctrl*sys, plot=True, grid=True)
333
334     # Enhanced visibility
335     plt.plot(np.real(poles), np.imag(poles), 'x', markersize=12,
336     markeredgewidth=3, color='orange')
337     plt.plot(np.real(zeros), np.imag(zeros), 'o', markersize=12,
338     markeredgewidth=3, markerfacecolor='none', color='orange')
339
340     plt.xlim([-20.0, 5.0])
341     plt.ylim([-10.0, 10.0])
342     plt.title(f'Detalhe do Cancelamento Polo-Zero (Lead)', color='white' if mode=='dark' else 'black')

```

```

339 plt.grid(True, which='both', color=grid_color, alpha=grid_alpha)
340 plt.savefig(os.path.join(assets_dir, '10_rlocus_lead_detail.png'))
341 plt.close()
342
343 plt.figure(figsize=(10, 8))
344 omega = np.logspace(-2, 4, 1000)
345 mag, phase, omega = ct.frequency_response(ctrl*sys, omega)
346 mag_db = 20 * np.log10(mag)
347 phase_deg = np.degrees(np.unwrap(phase))
348
349 plt.subplot(2, 1, 1)
350 plt.semilogx(omega, mag_db, linewidth=2, color=colors[0])
351 plt.grid(True, which='both', color=grid_color, alpha=grid_alpha)
352 plt.ylabel('Magnitude (dB)')
353 plt.title('Diagrama de Bode (Lead)', color='white' if mode=='dark'
354 else 'black')
355
356 plt.subplot(2, 1, 2)
357 plt.semilogx(omega, phase_deg, linewidth=2, color=colors[0])
358 plt.grid(True, which='both', color=grid_color, alpha=grid_alpha)
359 plt.ylabel('Fase (graus)')
360 plt.xlabel('Frequência (rad/s)')
361
362 plt.tight_layout()
363 plt.savefig(os.path.join(assets_dir, '11_bode_Lead.png'))
364 plt.close()
365
366 return ctrl
367
368 def design_lead_lag_controller(sys, mode='dark'):
369 """
370 Design and simulate an Integrated Lead-Lag Compensator.
371 """
372 colors = configure_plot_style(mode)
373 assets_dir = get_assets_dir(mode)
374 grid_color = 'black' if mode == 'light' else 'white'
375 grid_alpha = 0.3
376
377 s = ct.TransferFunction.s
378
379 # Lag Part
380 z_lag = 0.1
381 p_lag = 0.01
382 C_lag = ct.tf([1, z_lag], [1, p_lag])
383
384 # Lead Part
385 z_lead = 20
386 p_lead = 100
387 C_lead = ct.tf([1, z_lead], [1, p_lead])
388
389 K = 1000
390
391 ctrl = K * C_lag * C_lead
392 sys_cl = ct.feedback(ctrl * sys, 1)
393
394 t = np.linspace(0, 1, 2000)
395 t, y = ct.step_response(sys_cl, T=t)
396

```

```

396     y_final = y[-1]
397     y_peak = np.max(y)
398     Mp = (y_peak - y_final) / y_final * 100 if y_final != 0 else 0
399
400     error = np.abs(y - y_final)
401     threshold = 0.02 * np.abs(y_final)
402     out_of_bounds = np.where(error > threshold)[0]
403     ts = t[out_of_bounds[-1]] if len(out_of_bounds) > 0 else 0
404
405     print(f"[{mode.upper()}] Integrated Lead-Lag Design Results -> Mp: {Mp:.2f}%, ts: {ts:.4f}s")
406
407     plt.figure(figsize=(10, 6))
408     plt.plot(t, y, linewidth=2, color=colors[3])
409     plt.title(f'Reposta Final (Lead-Lag Integrado)', color='white' if mode=='dark' else 'black')
410     plt.grid(True)
411     plt.text(0.6 * np.max(t), 0.5 * np.max(y), f'Mp = {Mp:.1f}%\nts = {ts:.3f}s',
412             bbox=dict(facecolor='black', alpha=0.5, edgecolor=colors[1]), color='white')
413     plt.savefig(os.path.join(assets_dir, '13_step_response_LeadLag.png'))
414 )
415     plt.close()
416
417     plt.figure(figsize=(10, 10))
418     ct.rlocus(ctrl*sys, plot=True, grid=True)
419
# Enhanced visibility
420     poles, zeros = ct.pzmap(ctrl*sys, plot=False)
421     plt.plot(np.real(poles), np.imag(poles), 'x', markersize=12,
422             markeredgewidth=3, color='orange')
423     plt.plot(np.real(zeros), np.imag(zeros), 'o', markersize=12,
424             markeredgewidth=3, markerfacecolor='none', color='orange')
425
426     plt.title(f'Lugar das Raízes (Lead-Lag)', color='white' if mode=='dark' else 'black')
427     plt.savefig(os.path.join(assets_dir, '14a_rlocus_LeadLag.png')) # Renamed to avoid collision
428     plt.close()
429
430     plt.figure(figsize=(10, 8))
431     omega = np.logspace(-3, 3, 1000)
432     mag, phase, omega = ct.frequency_response(ctrl*sys, omega)
433     mag_db = 20 * np.log10(mag)
434     phase_deg = np.degrees(np.unwrap(phase))
435
436     plt.subplot(2, 1, 1)
437     plt.semilogx(omega, mag_db, linewidth=2, color=colors[3])
438     plt.grid(True, which='both', color=grid_color, alpha=grid_alpha)
439     plt.ylabel('Magnitude (dB)')
440     plt.title('Diagrama de Bode (Lead-Lag)', color='white' if mode=='dark' else 'black')
441
442     plt.subplot(2, 1, 2)
443     plt.semilogx(omega, phase_deg, linewidth=2, color=colors[3])
444     plt.grid(True, which='both', color=grid_color, alpha=grid_alpha)
445     plt.ylabel('Fase (graus)')

```

```

444     plt.xlabel('Frequênciac (rad/s)')
445
446     plt.tight_layout()
447     plt.savefig(os.path.join(assets_dir, '14_bode_LeadLag.png'))
448     plt.close()
449
450     return ctrl
451
452 def design_pid_controller(sys, mode='dark'):
453     """
454     Design and simulate a PID Controller (Ziegler-Nichols).
455     """
456     colors = configure_plot_style(mode)
457     assets_dir = get_assets_dir(mode)
458     grid_color = 'black' if mode == 'light' else 'white',
459     grid_alpha = 0.3
460
461     Kp_pid = 60000
462     Ki_pid = 5000
463     Kd_pid = 1000
464
465     # Filter for derivative
466     tau = 0.001
467
468     pid_tf = ct.tf([Kd_pid, Kp_pid, Ki_pid], [tau, 1, 0])
469     sys_cl = ct.feedback(pid_tf * sys, 1)
470
471     t = np.linspace(0, 1.5, 1000)
472     t, y = ct.step_response(sys_cl, T=t)
473
474     y_final = y[-1]
475     y_peak = np.max(y)
476     Mp = (y_peak - y_final) / y_final * 100 if y_final != 0 else 0
477
478     plt.figure(figsize=(10, 6))
479     plt.plot(t, y, linewidth=2, color=colors[3])
480     plt.title(f'Reposta ao Degrau (PID Ziegler-Nichols)', color='white',
481               if mode=='dark' else 'black')
482     plt.grid(True, which='both', color=grid_color, alpha=grid_alpha)
483     plt.text(0.6 * np.max(t), 0.5 * np.max(y), f'Mp = {Mp:.1f}%',
484             bbox=dict(facecolor='black', alpha=0.5, edgecolor=colors[1]), color='white')
485     plt.savefig(os.path.join(assets_dir, '15_step_response_PID.png'))
486     plt.close()
487
488     return pid_tf
489
490 def create_plant_variation(Km, am, ae):
491     """
492     Cria variação da planta para análise de robustez (Nicolas).
493     Nominal: Km=1.1, am=13.2, ae=950 -> K_sys=772 fixo.
494     Using user parameters for K_sys check.
495     """
496
497     # Note: user defined K_sys implicitly via 1.2 * 772?
498     # Original code had K_sys=772. Let's keep the robustness logic
499     # consistent
500     # but acknowledge the new nominal plant is slightly different.
501     K_sys = 772

```

```

499     num = [Km * K_sys]
500     den = [1, (am + ae), (am * ae), 0]
501     return ct.tf(num, den)
502
503 def analyze_robustness(controllers_dict, mode='dark'):
504     """
505     Análise de Robustez baseada nos cenários do Nicolas.
506     """
507     scenarios = {
508         "Nominal": {"Km": 1.1, "am": 13.2, "ae": 950, "style": "-",
509                     "color_dark": "#00ff00", "color_light": "green"}, },
510         "Pesado": {"Km": 0.8, "am": 15.0, "ae": 1100, "style": "--",
511                     "color_dark": "#00bfff", "color_light": "blue"}, },
512         "Agressivo": {"Km": 1.2, "am": 10.0, "ae": 800, "style": "-.",
513                     "color_dark": "#ff4500", "color_light": "red"} }
514     }
515
516     colors = configure_plot_style(mode)
517     assets_dir = get_assets_dir(mode)
518
519     if mode == 'light':
520         text_color = 'black'
521         grid_color = 'black'
522         face_color = 'white'
523         grid_alpha = 0.3
524     else:
525         text_color = 'white'
526         grid_color = 'white'
527         face_color = 'black'
528         grid_alpha = 0.3
529
530     for ctrl_name, ctrl in controllers_dict.items():
531         plt.figure(figsize=(10, 6))
532         print(f"[{mode.upper()}] Analisando Robustez: {ctrl_name}")
533
534         for name, params in scenarios.items():
535             G_var = create_plant_variation(params["Km"], params["am"],
536                                             params["ae"])
537             sys_cl = ct.feedback(ctrl * G_var, 1)
538
539             t, y = ct.step_response(sys_cl, T=np.linspace(0, 2.0, 1000))
540
541             color = params["color_dark"] if mode == 'dark' else params["color_light"]
542
543             y_peak_abs = np.max(np.abs(y))
544
545             if y_peak_abs > 50:
546                 label_text = f"{name} (Instável)"
547                 # Clip data to prevent visual artifacts (vertical lines
548                 filling the plot)
549                 y_plot = np.clip(y, -5.0, 5.0)
550             else:
551                 y_peak = np.max(y)
552                 mp = (y_peak - 1) * 100
553                 label_text = f"{name} (Mp={mp:.1f}%)"
554                 y_plot = y

```

```

551         plt.plot(t, y_plot, linestyle=params["style"], linewidth=2,
552 label=label_text, color=color)
553
553     plt.axhline(1.0, color=text_color, linestyle=':', linewidth=0.8,
554 alpha=0.5)
554     plt.grid(True, which='both', linestyle='--', linewidth=0.5,
555 color=grid_color, alpha=grid_alpha)
555
556     plt.title(f'Análise de Robustez - {ctrl_name}', color=text_color
556 , fontsize=14)
557     plt.xlabel('Tempo (s)', color=text_color, fontsize=12)
558     plt.ylabel('Amplitude', color=text_color, fontsize=12)
559     plt.ylim(-0.2, 2.0)
560
561     legend = plt.legend(facecolor=face_color, edgecolor=text_color)
562     for text in legend.get_texts():
563         text.set_color(text_color)
564
565     plt.tick_params(colors=text_color, which='both')
566     for spine in plt.gca().spines.values():
567         spine.set_color(text_color)
568
569     if ctrl_name == 'PID':
570         fname = '16_robustness_PID.png'
571     elif ctrl_name == 'Lead-Lag':
572         fname = '17_robustness_LeadLag.png'
573     else:
574         fname = f'robustness_{ctrl_name}.png'
575
576     plt.savefig(os.path.join(assets_dir, fname))
577     plt.close()
578
579 if __name__ == "__main__":
580     # --- Override System with Dierson's Parameters globally ---
581     # We define it here to pass to controllers, though comparison
582     # function creates its own instance to be safe
583     s = ct.TransferFunction.s
584     km = 1.2
585     am = 13.2
586     ae = 950
587     sys = km/(s*(s+am)*(s+ae))
588
588     if not os.path.exists('../assets/images'): os.makedirs('../assets/
589 images')
589     if not os.path.exists('../assets/report_images'): os.makedirs('../
590 assets/report_images')
591
591     analyze_open_loop(sys, mode='dark')
592     analyze_open_loop(sys, mode='light')
593
594     controllers_to_test = {}
595
596     print("\n--- Running Control Simulation in DARK mode ---")
597     configure_plot_style('dark')
598     Kp_p = design_p_controller(sys, mode='dark')
599     ctrl_lag = design_lag_controller(sys, mode='dark')
600     ctrl_lead = design_lead_controller(sys, mode='dark')
601     ctrl_leadlag = design_lead_lag_controller(sys, mode='dark')

```

```

602     ctrl_pid = design_pid_controller(sys, mode='dark')
603
604     controllers_to_test = {
605         'Proportional': Kp_p,
606         'Lead-Lag': ctrl_leadlag,
607         'PID': ctrl_pid
608     }
609
610     print("\n--- Running Control Simulation in LIGHT mode (Prioritizing
Report Assets) ---")
611     configure_plot_style('light')
612     Kp_p = design_p_controller(sys, mode='light')
613     ctrl_lag = design_lag_controller(sys, mode='light')
614     design_lead_controller(sys, mode='light')
615     design_lead_lag_controller(sys, mode='dark')
616     design_pid_controller(sys, mode='dark')
617
618 # Generate comparative plots with Dierson's strict parameters
619 generate_comparative_plots(sys, Kp_p, ctrl_lag, mode='dark')
620 generate_comparative_plots(sys, Kp_p, ctrl_lag, mode='light')
621
622 analyze_robustness(controllers_to_test, mode='dark')
623 analyze_robustness(controllers_to_test, mode='light')
624
625 print("\nTodas as simulações e gráficos foram atualizados.")

```

Listing 2: Script de projeto e simulação dos controladores P e Lag